

## Conception de systèmes optiques

#### Plan des cours 4 à 10

```
Cours 4 : Développement polynomial de l'écart normal
         Aberrations chromatiques paraxiales
Cours 5: Aberration sphérique
Cours 6: Coma
Cours 7 : Astigmatisme & courbure de champ
Cours 8: Distorsion
         Variations des aberrations avec la position de la pupille
Cours 9 : Etude de systèmes simples
              dioptre sphérique (ou non)
              lame à faces //
              miroirs
Cours 10: Lentilles minces
```

Transparents de cours disponibles sur <u>eCampus</u>

Télescopes à deux miroirs



### Bilan des cours 1 à 3

#### L'écart normal est une grandeur utile ...

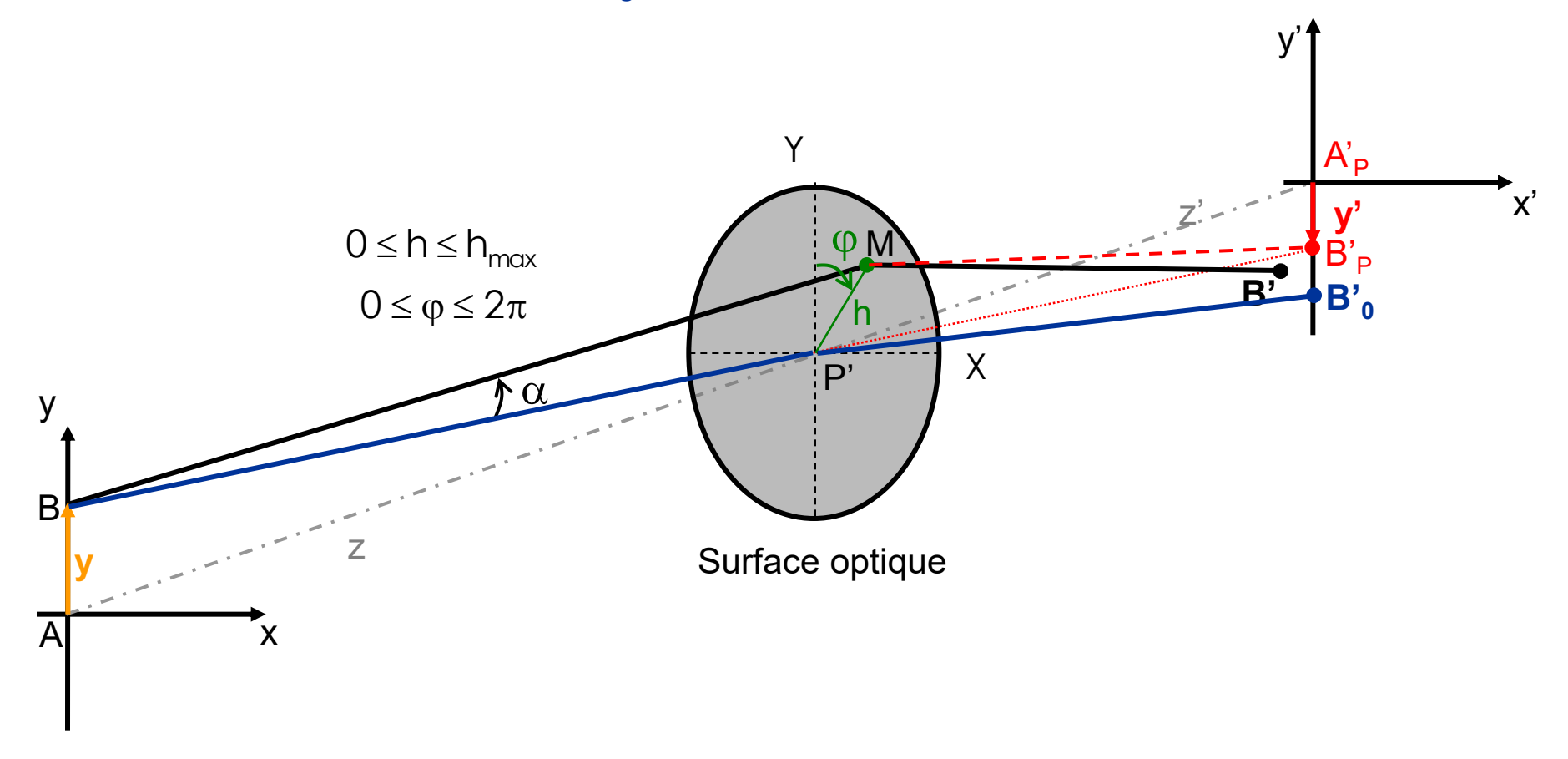
- Elle quantifie la **déformation du front d'onde** à travers un système optique, par rapport à une sphère de référence
- Elle est « additive » :  $(n'\Delta)_{syst\`{e}me} = \sum_{sous-syst\`{e}mes} (n'_i\Delta_i)$
- Elle est facilement calculable par un logiciel de tracé de rayons :  $\mathbf{n'}\Delta = \mathbf{L_0} \mathbf{L}$





L: chemin optique (BMB') le long du rayon réel

L<sub>0</sub>: chemin optique (BP'B'<sub>0</sub>) le long du rayon réel





### Bilan des cours 1 à 3

#### L'écart normal est une grandeur utile ...

- Elle quantifie la **déformation du front d'onde** à travers un système optique, par rapport à une sphère de référence
- Elle est « additive » :  $(n'\Delta)_{système} = \sum_{sous-systèmes} (n'_i\Delta_i)$
- Elle est facilement calculable par un logiciel de tracé de rayons :  $\mathbf{n'}\Delta = \mathbf{L_0} \mathbf{L}$
- son **amplitude** est directement liée aux dimensions transverses du spot-diagramme (dy', dx') → formules de Nijboer

$$dy' = \frac{\cos\varphi}{\cos\alpha'} \frac{\partial\Delta}{\partial\alpha'} - \frac{\sin\varphi}{\sin\alpha'} \frac{\partial\Delta}{\partial\varphi}$$
$$dx' = \frac{\sin\varphi}{\cos\alpha'} \frac{\partial\Delta}{\partial\alpha'} + \frac{\cos\varphi}{\sin\alpha'} \frac{\partial\Delta}{\partial\varphi}$$



### Bilan des cours 1 à 3

#### L'écart normal est une grandeur utile ...

- Elle quantifie la **déformation du front d'onde** à travers un système optique, par rapport à une sphère de référence
- Elle est « additive » :  $(n'\Delta)_{syst\`{e}me} = \sum_{sous-syst\`{e}mes} (n'_i\Delta_i)$
- Elle est facilement calculable par un logiciel de tracé de rayons :  $\mathbf{n'}\Delta = \mathbf{L_0} \mathbf{L}$
- son **amplitude** est directement liée aux dimensions transverses du spot-diagramme (dy', dx') → formules de Nijboer
- sa variance est directement liée (pour un système peu aberrant) à l'éclairement au centre de la sphère de référence
  - ightharpoonup rapport de Strehl  $R_S pprox \exp[-rac{4\pi^2}{
    ho_\Delta^2}\sigma_\Delta^2]$



### **Chapitre 1**

# Développement polynomial de l'écart normal



## Plan du Chapitre 1

#### I. Développement de $\Delta$ sur les polynômes de Seidel

- Ils décrivent de manière intuitive les différentes aberrations
- Mais ... ils ne sont pas orthogonaux entre eux

#### II. Développement de $\Delta$ sur les polynômes de Zernike

- Combinaisons linéaires des polynômes de Seidel
- Base orthonormée de polynômes sur une pupille « disque circulaire »
- Utiles pour la correction des défauts de front d'onde (optique adaptive ...)



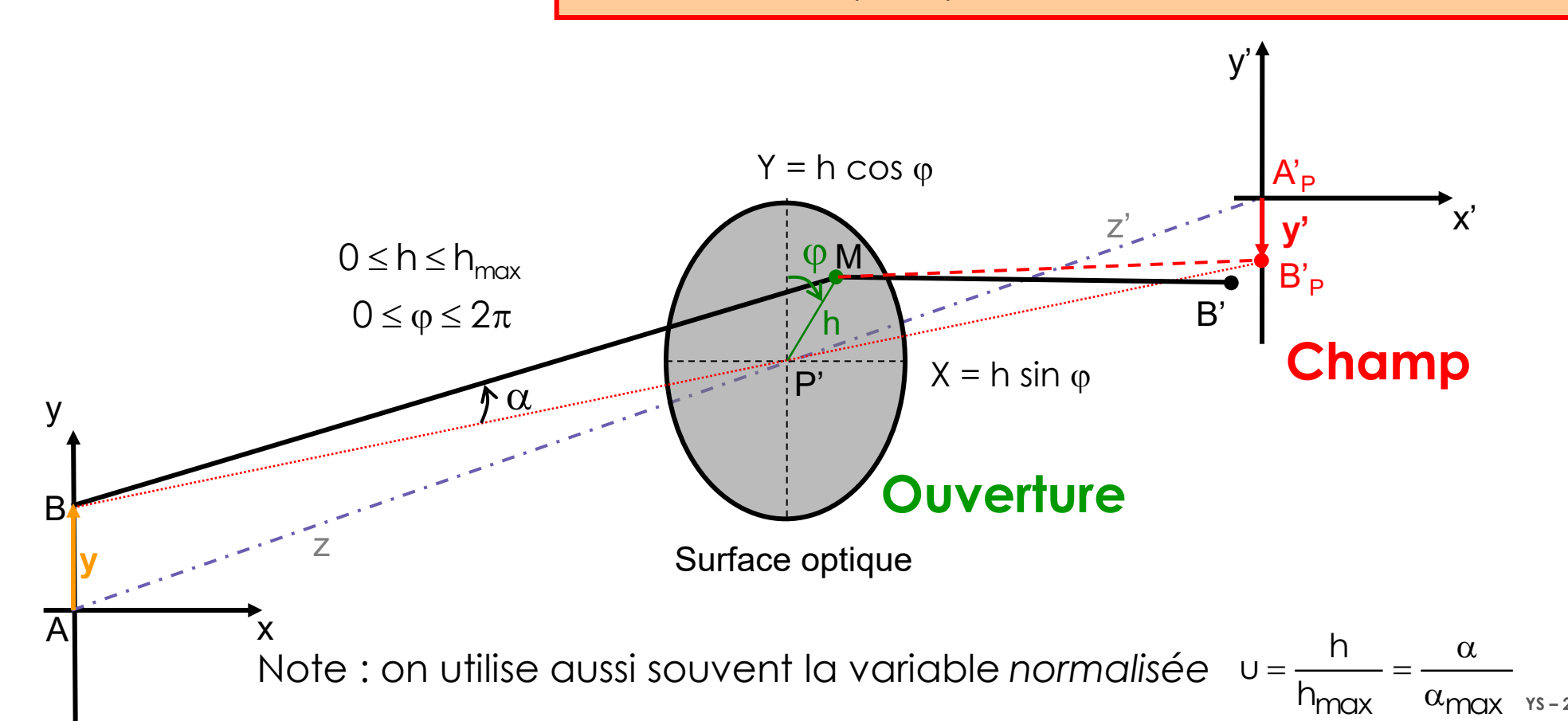
## Le développement de Seidel

 $\Delta(h, \varphi, y)$ : écart normal par rapport à une sphère de référence

Développement de  $\Delta(h,\phi,y)$  en série entière de  $h^2$ ,  $y^2$ ,  $h.y.cos\phi$ 

Pour un système centré :

$$\Delta (h, \varphi, y) = \sum_{(p,q,m) \in \mathbb{N}^3} \sum_{p \in \mathbb{N}^3} a_{pqm} h^{2p+m} y^{2q+m} \cos(m\varphi)$$





### La classification de Seidel

Système centré : 
$$\Delta$$
 (h, $\varphi$ ,y) =  $\sum_{(p,q,m)\in \mathbb{N}^3} \sum_{\mathbf{N}^3} a_{pqm} h^{2p+m} y^{2q+m} \cos(m\varphi)$ 

#### Termes $\langle 2p+2q+2m=2 \rangle$

| р | q | m |                     |   |
|---|---|---|---------------------|---|
|   | 0 | 0 | h <sup>2</sup>      | défaut de mise au point (defocus)             |
| 0 | 0 | 1 | h y $\cos(\varphi)$ | basculement selon y (tilt $\beta \propto y$ ) |
| 0 | 1 | 0 | $y^2$               | piston  |

#### Aberrations d'ordre 3 : « 2p+2q+2m = 4 »

| р | q | m |                                  |
|---|---|---|----------------------------------|
| 2 | 0 | 0 | h⁴ ab. sphérique                 |
| 1 | 0 | 1 | h³ y cos(φ) coma                 |
| 1 | 1 | 0 | h² y² courbure de champ          |
| 0 | 0 | 2 | h² y² cos(2φ)astigmatisme        |
| 0 | 1 | 1 | h $y^3 \cos(\varphi)$ distorsion |
| 0 | 2 | 0 | y <sup>4</sup> piston            |



## Défaut de mise au point (defocus)

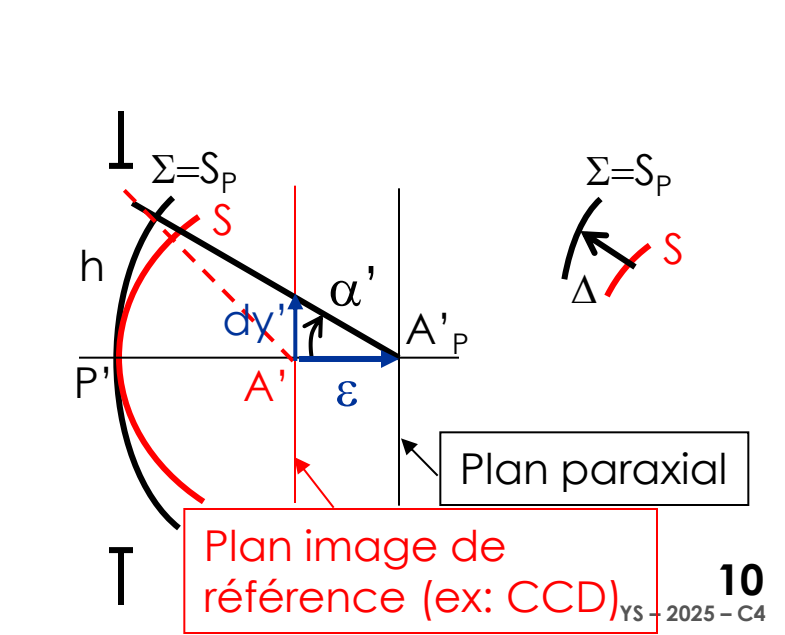
Terme en «  $h^2$  »  $\rightarrow$  **défaut de courbure par rapport à la sphère de** 

référence

$$dy' = -\epsilon \alpha'$$

$$\Delta = -\frac{1}{2} \epsilon \alpha'^2 \approx -\epsilon \frac{h^2}{2R^2}$$

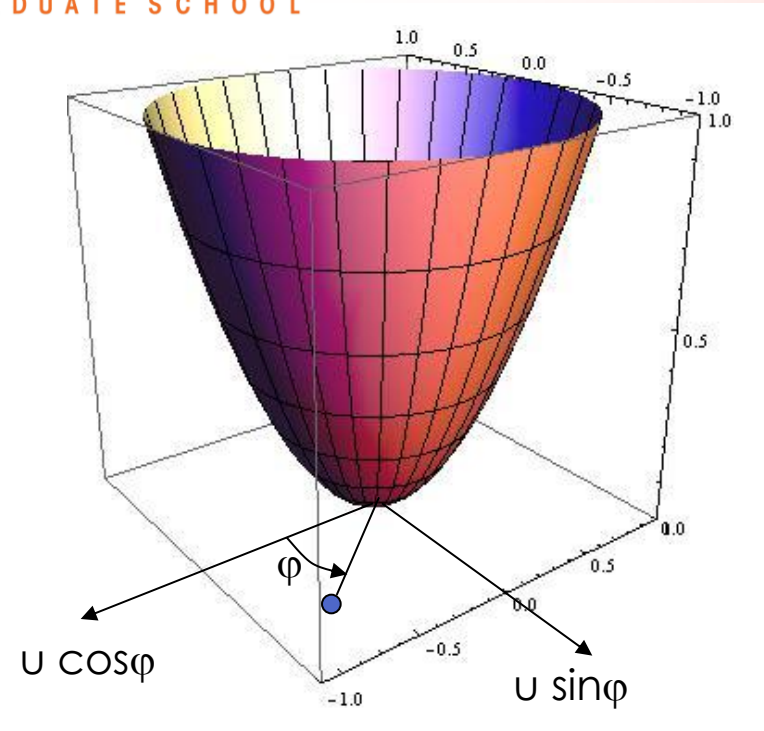
aussi appelé « défaut de mise au point » « defocus »

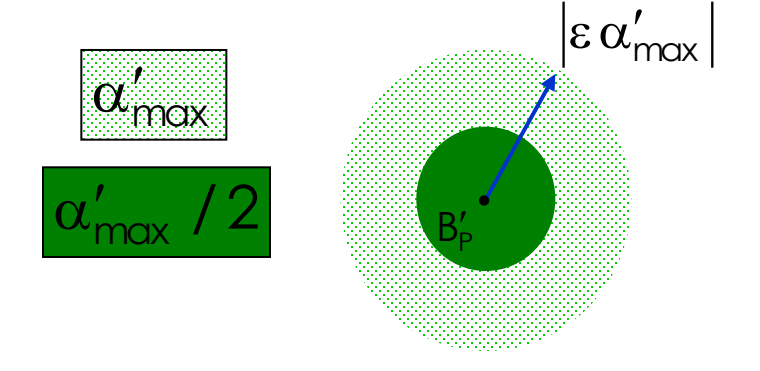


R



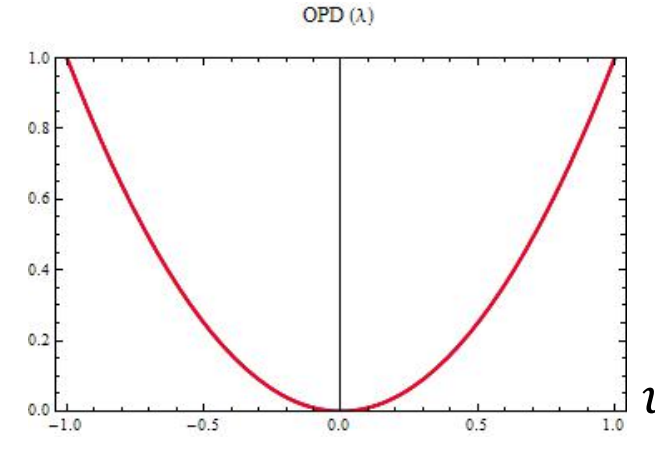
## Défaut de mise au point (defocus)





Spot diagramme

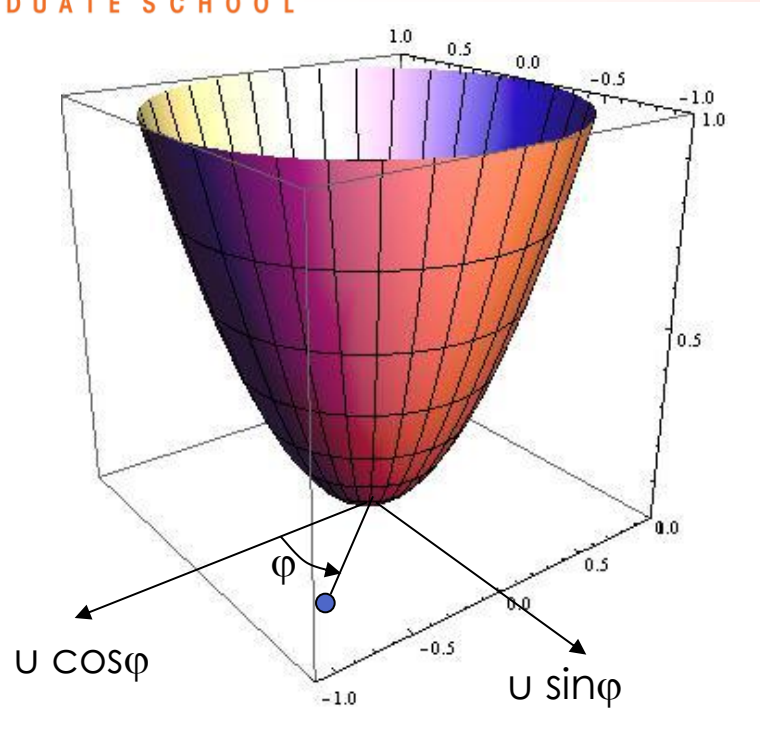
Defocus 
$$\Delta(U, \varphi) = \Delta_{max}U^2$$



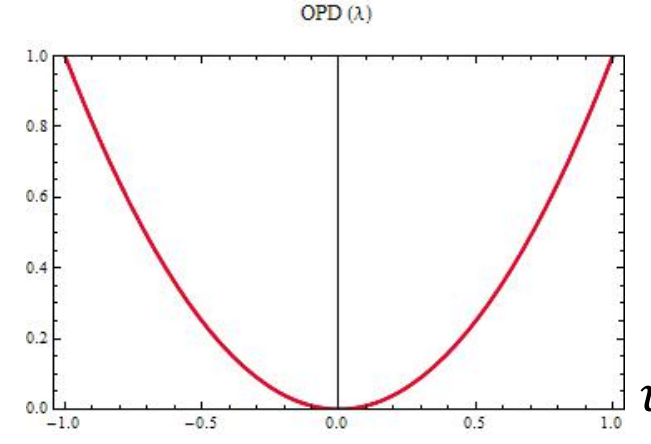
$$u = \frac{h}{h_{max}} = \frac{\alpha'}{\alpha'_{max}}$$



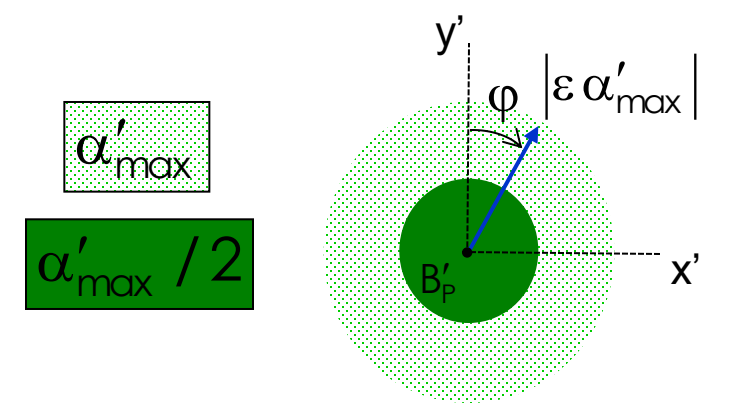
## Défaut de mise au point (defocus)



Defocus  $\Delta(U, \varphi) = \Delta_{max}U^2$ 



$$u = \frac{h}{h_{max}} = \frac{\alpha'}{\alpha'_{max}}$$



Spot diagramme

$$\Delta = -\frac{1}{2} \epsilon \alpha'^{2}$$

$$dy' = -\epsilon \alpha' \cos \varphi$$

$$dx' = -\epsilon \alpha' \sin \varphi$$
Nijboer



### La classification de Seidel

Système centré : 
$$\Delta$$
 (h, $\phi$ ,y) =  $\sum_{(p,q,m)\in \mathbb{N}^3} \sum_{\mathbf{N}^3} a_{pqm} h^{2p+m} y^{2q+m} \cos(m\phi)$ 

#### Termes $\langle 2p+2q+2m=2 \rangle$

```
p q m

1 0 0 h^2 défaut de mise au point (defocus)

0 0 1 h y cos(\varphi) basculement selon y (tilt \beta \propto y)

0 1 0 y^2 piston
```

#### Aberrations d'ordre 3 : « 2p+2q+2m = 4 »

```
p q m

2 0 0 h<sup>4</sup> ab. sphérique

1 0 1 h<sup>3</sup> y cos(\varphi) coma

1 1 0 h<sup>2</sup> y<sup>2</sup> courbure de champ

0 0 2 h<sup>2</sup> y<sup>2</sup> cos(2\varphi) astigmatisme

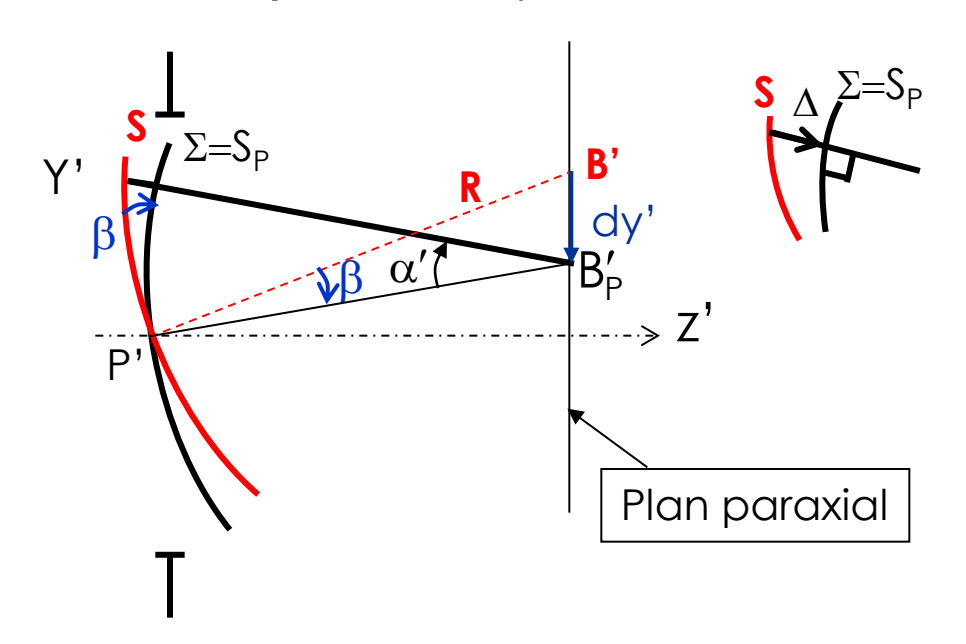
0 1 1 h y<sup>3</sup> cos(\varphi) distorsion

0 2 0 y<sup>4</sup> piston
```



## **Basculement (tilt)**

Terme en «  $\beta$ .h.cos  $\phi$ »  $\rightarrow$  tilt de la sphère de référence S (angle  $\beta$ )



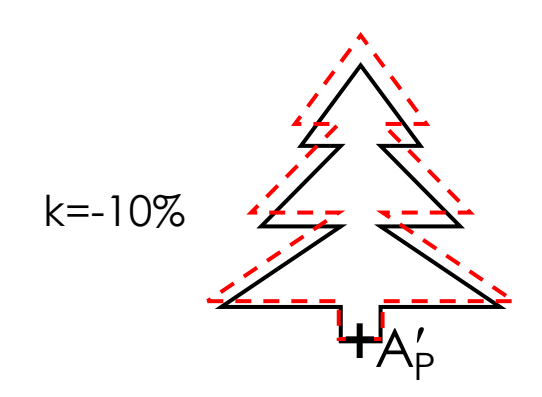
$$\Delta = -\beta Y'$$

$$\Delta = -\beta \cdot h \cos \varphi$$

$$\beta = \frac{dy'}{R} \qquad h = -F$$

$$\Delta = dy' \cdot \alpha' \cos \varphi$$

Cas d'un tilt <u>linéaire</u> ( $\beta \propto y'$ )  $\rightarrow$  défaut de grandissement transversal

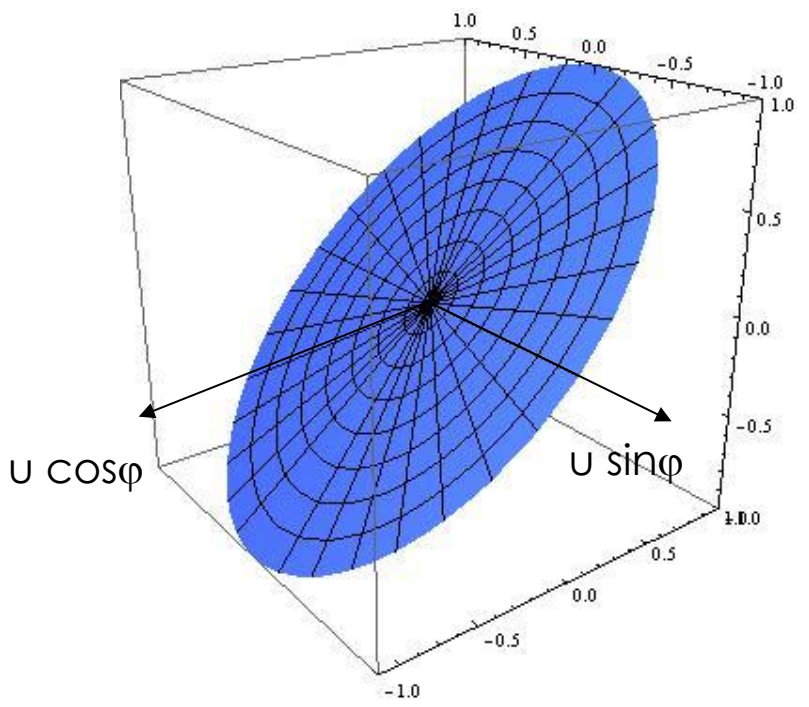


$$dy' = k \cdot y'$$

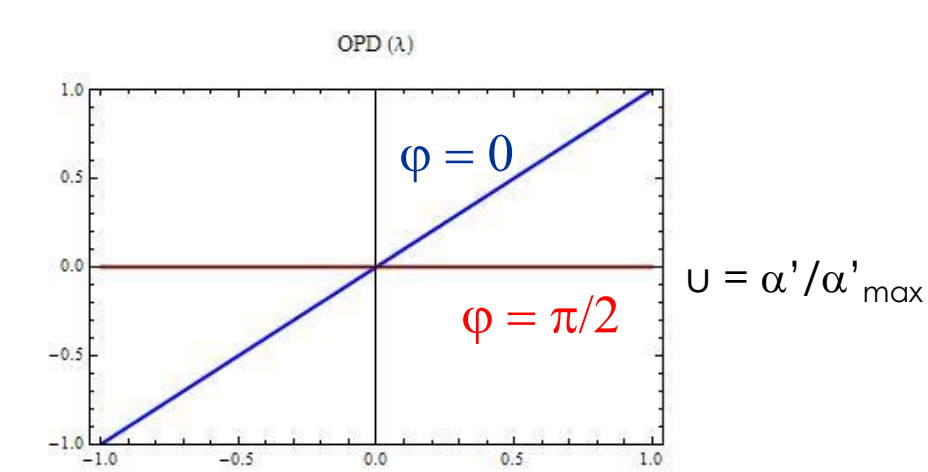
$$\Delta = k \, y' \cdot \alpha' \cos \varphi$$



## **Basculement (tilt)**



Tilt 
$$\Delta(U, \phi) = \Delta_{max} U \cos \phi$$



$$B' \int_{B'_{P}} |k y'|$$

Spot diagramme

$$\Delta = -\beta \cdot h \cos \varphi = k y' \cdot \alpha' \cos \varphi$$

$$\begin{cases} dy' = k y' \\ dx' = 0 \end{cases}$$





### La classification de Seidel

Système centré : 
$$\Delta$$
 (h, $\phi$ ,y) =  $\sum_{(p,q,m)\in \mathbb{N}^3} \sum_{p,q,m} \sum_{p,q} \sum_{p,$ 

```
Termes « 2p+2q+2m=2 »

p q m

1 0 0 h<sup>2</sup> défaut de mise au point (defocus)

0 0 1 h y cos(\varphi) basculement selon y (tilt \beta \propto y)

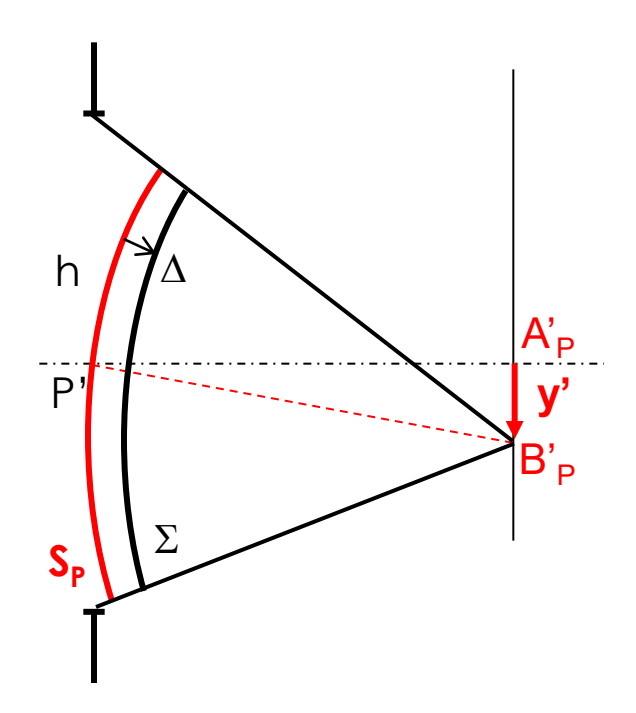
1 0 y<sup>2</sup> piston
```

#### Aberrations d'ordre 3 : « 2p+2q+2m = 4 »

| р | q | m      |                          |                   |
|---|---|--------|--------------------------|-------------------|
| 2 | 0 | 0      | h <sup>4</sup>           | ab. sphérique     |
| 1 | 0 | 1      | h³ y cos(φ)              | coma              |
| 1 | 1 | 0      | $h^2 y^2$                | courbure de champ |
| 0 | 0 | 2      | $h^2 y^2 \cos(2\varphi)$ | )astigmatisme     |
| 0 | 1 | 1      | h $y^3 \cos(\varphi)$    | distorsion        |
| 0 | 2 | $\cap$ | V <sup>4</sup>           | piston            |



Termes indépendants de h (2p+m=0)  $\rightarrow \Delta$  constant sur la pupille



Le piston n'est pas un défaut du système

- → Déphasage uniforme du front d'onde sur la pupille, sans déformation
- $\rightarrow$  Ex : système dénué d'aberrations, rayon de courbure de la sphère de référence verrouillé sur tout le champ (y') :  $\Delta$  varie en y<sup>2q</sup>



### La classification de Seidel

Système centré : 
$$\Delta$$
 (h, $\phi$ ,y) =  $\sum_{(p,q,m)\in \mathbb{N}^3} \sum_{\mathbf{N}^3} a_{pqm} h^{2p+m} y^{2q+m} \cos(m\phi)$ 

Termes ( 
$$2p+2q+2m=2$$
 ) p q m 1 0 0 h<sup>2</sup> défaut de mise au point (defocus) 0 1 h y cos( $\varphi$ ) basculement selon y (tilt  $\beta \propto y$ ) 0 1 0 y<sup>2</sup> piston

#### Aberrations d'ordre 3 : « 2p+2q+2m = 4 »

| р | q | m |                          |                 |  |
|---|---|---|--------------------------|-----------------|--|
| 2 | 0 | 0 | h <sup>4</sup>           | ab. sphérique   | lépend de « h » seulement                        |
| 1 | 0 | 1 | $h^3$ y $cos(\varphi)$   | coma            | tilt $\beta \propto h^2.y$                       |
| 1 | 1 | 0 | $h^2 y^2$                | courbure de cho | defocus $\epsilon \propto y^2$                   |
| 0 | 0 | 2 | $h^2 y^2 \cos(2\varphi)$ | )astigmatisme   | defocus $\varepsilon \propto y^2 \cos(2\varphi)$ |
| 0 | 1 | 1 | h $y^3 \cos(\varphi)$    | distorsion      | tilt $\beta \propto y^3$                         |
| 0 | 2 | 0 | $y^4$                    | piston          | 18<br>YS - 2025 - C                              |



## Développement sur la pupille

Système centré : 
$$\Delta$$
 (U, $\phi$ ,y) =  $\sum_{(p,m)\in \mathbb{N}^2} \sum_{\mathbf{N}^2} \Delta_{pm}(y)$  U<sup>2p+m</sup> cos(m $\phi$ ) y fixé

$$u = \frac{h}{h_{max}}$$

Aberrations « classiques » jusqu'au 5e ordre : « 2p+2m ≤ 6 »

coma

 $U^4 \cos(2\varphi)$ 

 $U^3 \cos(3\varphi)$ 

```
defocus (courb. de champ) 1er ordre tilt (distortion)
U \cos(\varphi)
                aberration sphérique
U^3 \cos(\varphi)
                                                        3e ordre
                coma
U^2 \cos(2\varphi)
                astigmatisme
                aberration sphérique
U^5 COS(\varphi)
```

astigmatisme

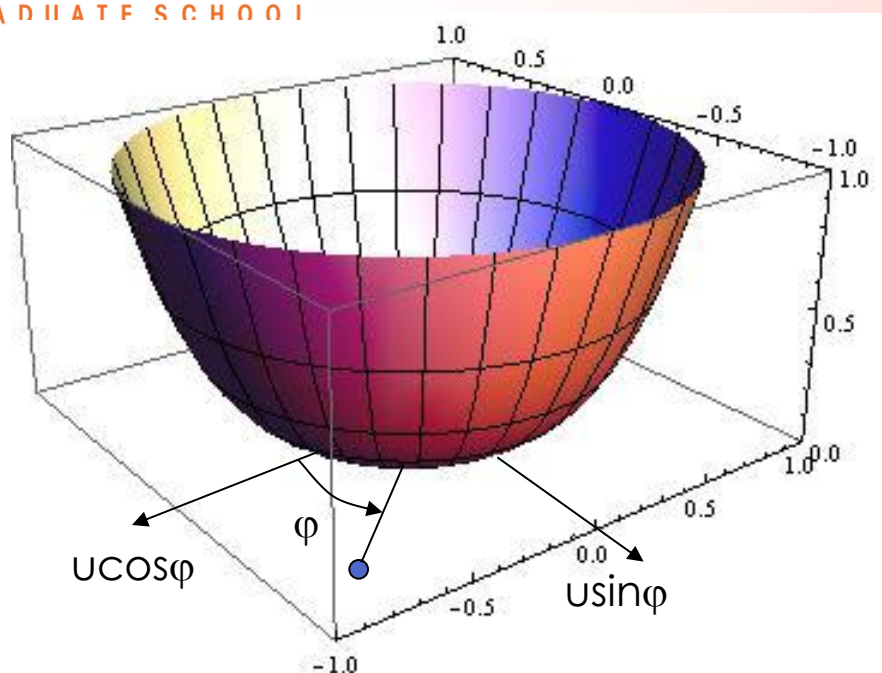
trèfle (à 3 feuilles)

5<sup>e</sup> ordre

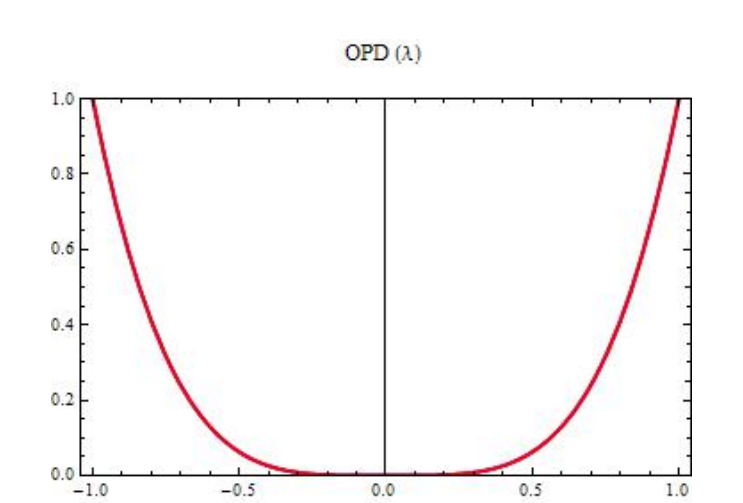
YS - 2025 - C4

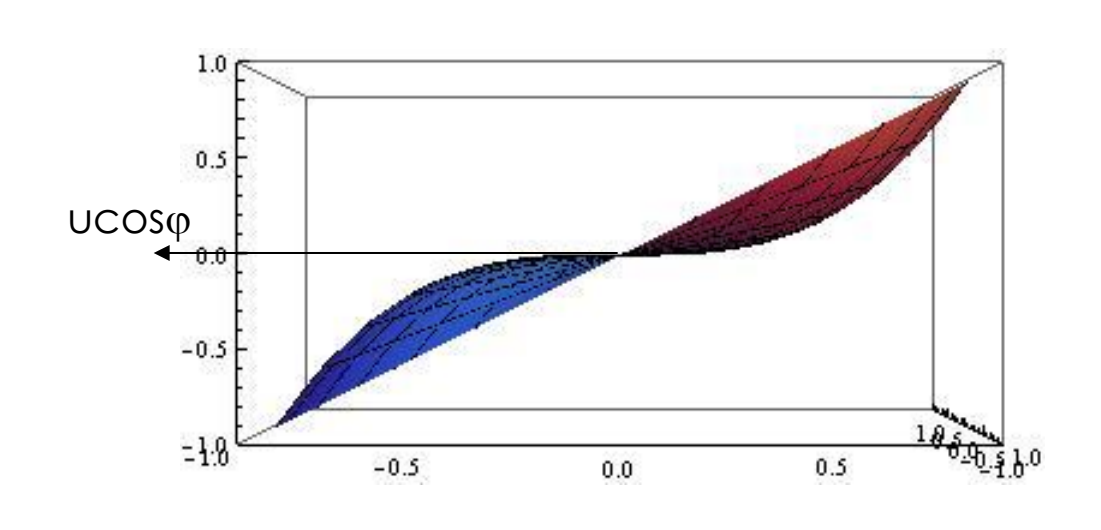


## Aberrations classiques du 3e ordre



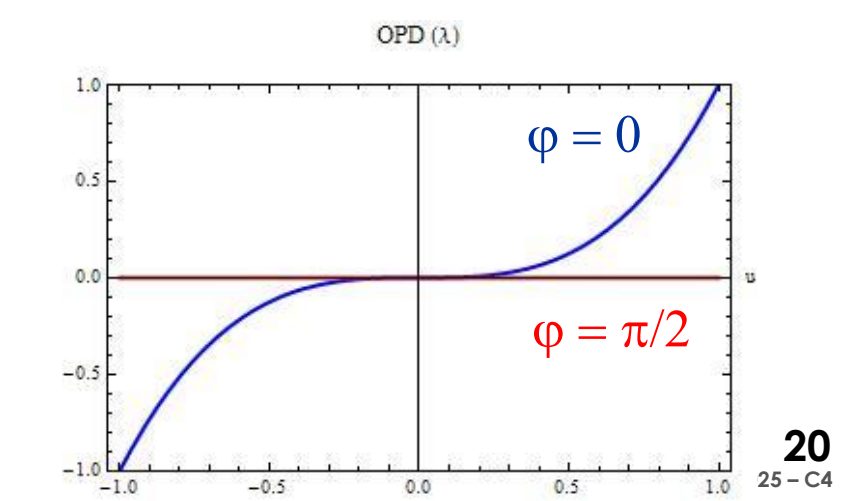
ab. sphérique 3e ordre  $\Delta(U) = \Delta_{max} U^4$ 





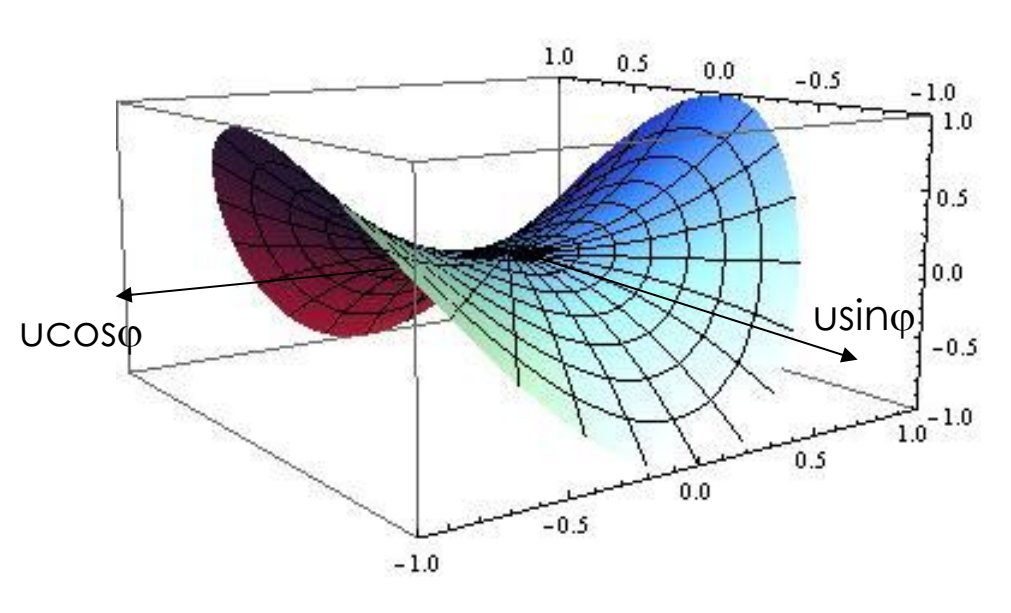
Coma 3<sup>e</sup> ordre

$$\Delta(U,\phi) = \Delta_{max} U^3 \cos \phi$$

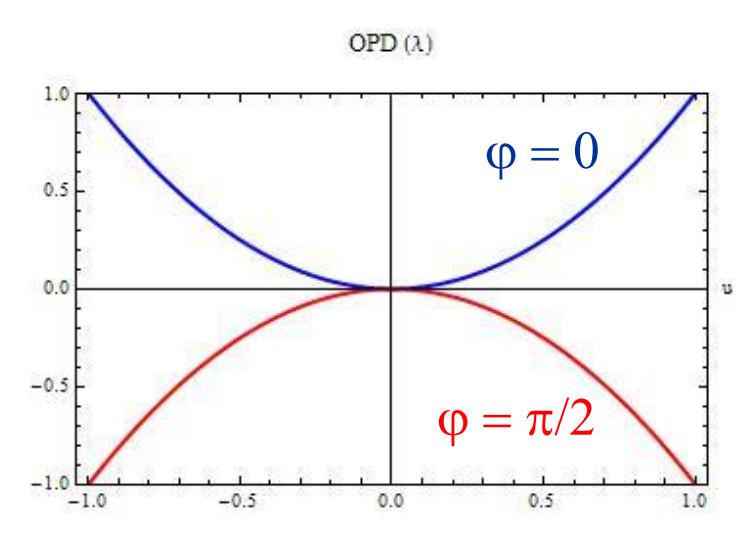




## Aberrations classiques du 3e ordre



astigmatisme 3° ordre  $\Delta(U, \varphi) = \Delta_{max} U^2 \cos 2\varphi$ 









Prix Nobel de Physique 1953, « pour la démonstration de la méthode de contraste de phase, particulièrement pour son invention du microscope à contraste de phase. »



## Le développement de Zernike

•Système centré : 
$$\Delta \left( U, \varphi, y \right) = \sum_{\substack{(n,m) \in \mathbb{N}^2 \\ n-m \text{ pair } \geq 0}} \sum_{n \in \mathbb{N}^2} c_{nm}(y) \, Z_n^m(U, \varphi)$$

Définition des polynômes de Zernike sur pupille disque (0 ailleurs)

$$Z_n^m(\textbf{U},\phi) = \sqrt{\frac{2(n+1)}{1+\delta_m^0}} \left(R_n^m(\textbf{U}) \cos(m\phi)\right) \qquad (n,m) \in \textbf{N}^2, \ n-m \ pair \geq 0$$

Fonction radiale de Zernike : polynôme en u, de degré n, contenant les termes u<sup>n</sup>, u<sup>n-2</sup>, ..., u<sup>m</sup>, et défini par :

$$R_{n}^{m}(u) = \sum_{s=0}^{(n-m)/2} (-1)^{s} \frac{(n-s)!}{s! \left(\frac{n+m}{2}-s\right)! \left(\frac{n-m}{2}-s\right)!} u^{n-2s}$$

Exemple:

$$R_7^3(U) = 210^7 - 300^5 + 100^3 \Rightarrow Z_7^3(U, \varphi) = \sqrt{16} (210^7 - 300^5 + 100^3) \cos 3\varphi$$



## Propriétés des polynômes de Zernike (1)

- $R_n^n(U) = U^n$
- $\forall (n,m), R_n^m(1) = 1$  et  $|R_n^m(u)| \le 1$   $(0 \le u \le 1)$
- $\forall |U| \leq 1$ ,  $Z_0^0(U) = 1$  (piston)
- •Lorsque la symétrie  $\varphi \rightarrow -\varphi$  est brisée, il faut compléter par :

$$Z_n^{-m}(U, \varphi) = \sqrt{2(n+1)} R_n^m(U) \sin(m\varphi)$$
 (m > 0)

afin de former une base orthonormale de polynômes

- ➤ Vrai pour un système centré où l'objet n'est pas selon y
- ➤ Vrai pour une turbulence atmosphérique (syst. non centré!)



## INSTITUT Propriétés des polynômes de Zernike (2)

Condition d'orthogonalité 
$$\frac{1}{\pi} \int_{u=0}^{1} \int_{\phi=0}^{2\pi} Z_n^m(u,\phi) Z_{n'}^{m'}(u,\phi) u \, du \, d\phi = \delta_n^{n'} \delta_m^{m'}$$

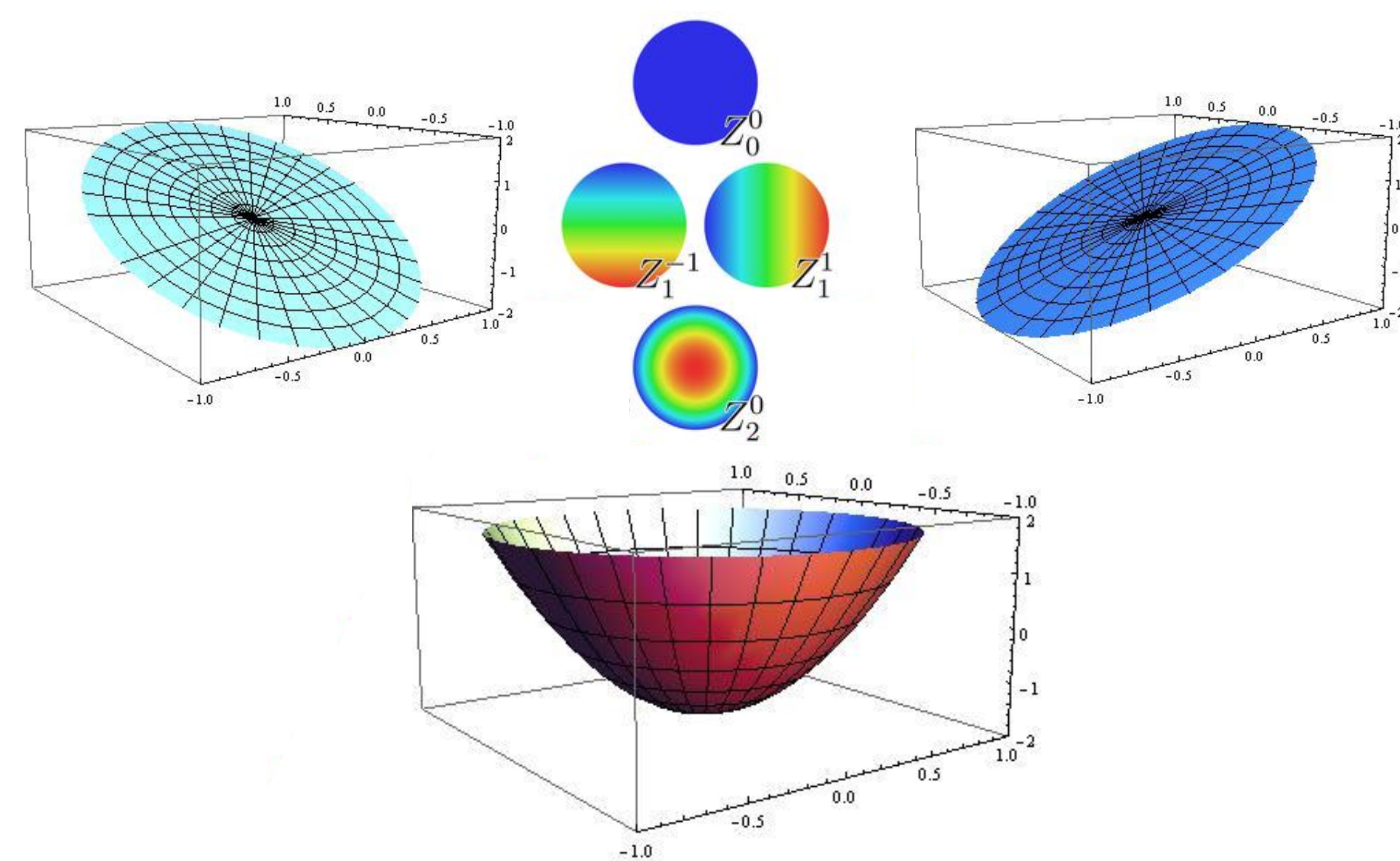
- En particulier,  $\forall (n,m) \neq (0,0)$ ,  $Z_n^m \perp Z_0^0 \Rightarrow \overline{Z_n^m(\upsilon,\phi)}^{pupille} = 0$ Les Z<sub>n</sub> sont de moyenne nulle sur la pupille (sauf le piston)
- Chaque polynôme de Zernike est combinaison linéaire d'aberrations classiques (« balanced polynomials » ) avec des coefficients tels que les Z<sub>n</sub><sup>m</sup> sont normés et orthogonaux 2 à 2

Ex : coma 
$$3^e$$
 ordre de Zernike  $Z_3^1(u,\phi) = \sqrt{8} \ (3u^3 - 2u) \cos \phi$  Coma  $3^e$  Seidel Tilt Seidel

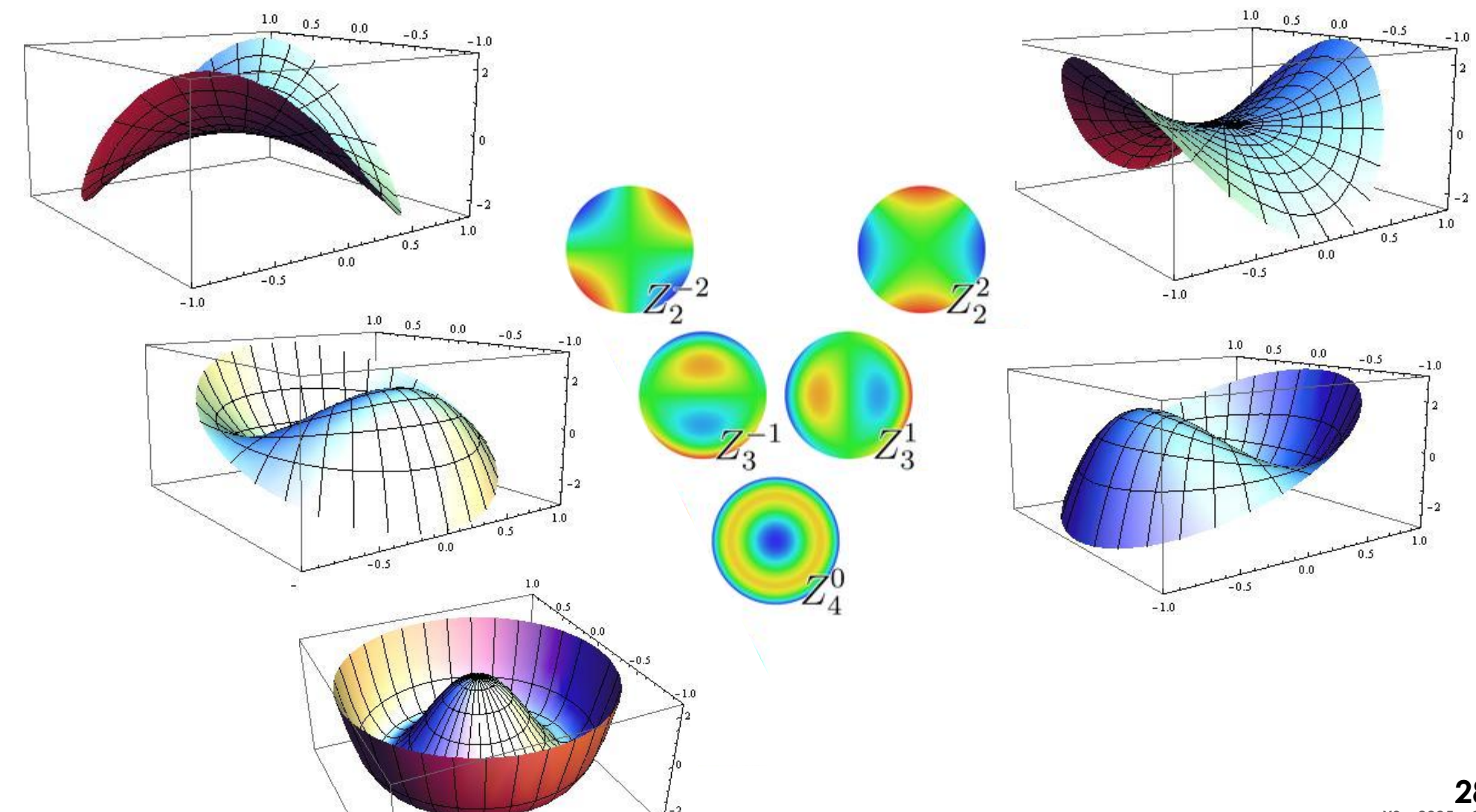


| i  | n m  | $Z_i \cap U_n^m(u,\varphi)$   | Dénomination                         |
|----|------|---|--------------------------------------|
| 0  | 0 0  | 1   | Piston                               |
| 1  | 1 1  | 2υ cos φ  | Tilt à 0°                            |
| 2  | 1 -1 | 2υ sin φ  | Tilt à 90°                           |
| 3  | 2 0  | $\sqrt{3}(20^2-1)$  | Defocus (+ courbure de champ)        |
| 4  | 2 2  | $\sqrt{6} \cup^2 \cos 2\phi$  | Astigmatisme à 0°                    |
| 5  | 2 -2 | $\sqrt{6} \cup^2 \sin 2\phi$  | Astigmatisme à 45° Coma à 0°         |
| 6  | 3 1  | $\sqrt{8}$ (30 <sup>3</sup> - 20) cos $\varphi$                         | Coma à 0°                            |
| 7  | 3 -1 | $\sqrt{8}$ (30 <sup>3</sup> - 20) sin $\varphi$                         | Coma à 90°                           |
| 8  | 4 0  | $\sqrt{5}$ (60 <sup>4</sup> - 60 <sup>2</sup> + 1)                      | Aberration sphérique                 |
| 9  | 3 3  | $\sqrt{8} \cup^3 \cos 3\phi$  | Trèfle à 0°                          |
| 10 | 3 -3 | $\sqrt{8} \cup 3 \sin 3\phi$  | Trèfle à 30°                         |
| 11 | 4 2  | $\sqrt{10} (40^4 - 30^2) \cos 2\phi$                                    | Astigmatisme à 0° Astigmatisme à 45° |
| 12 | 4 -2 | $\sqrt{10} (40^4 - 30^2) \sin 2\phi$                                    |                                      |
| 13 | 5 1  | $\sqrt{12}$ (1005 - 1203 + 30) cos $\varphi$                            | Coma à 0°                            |
| 14 | 5 -1 | $\sqrt{12}$ (1005 - 1203 + 30) sin $\varphi$                            | Coma à 90°                           |
| 15 | 6 0  | $\sqrt{7}$ (200 <sup>6</sup> - 300 <sup>4</sup> + 120 <sup>2</sup> - 1) | Aberration sphérique                 |

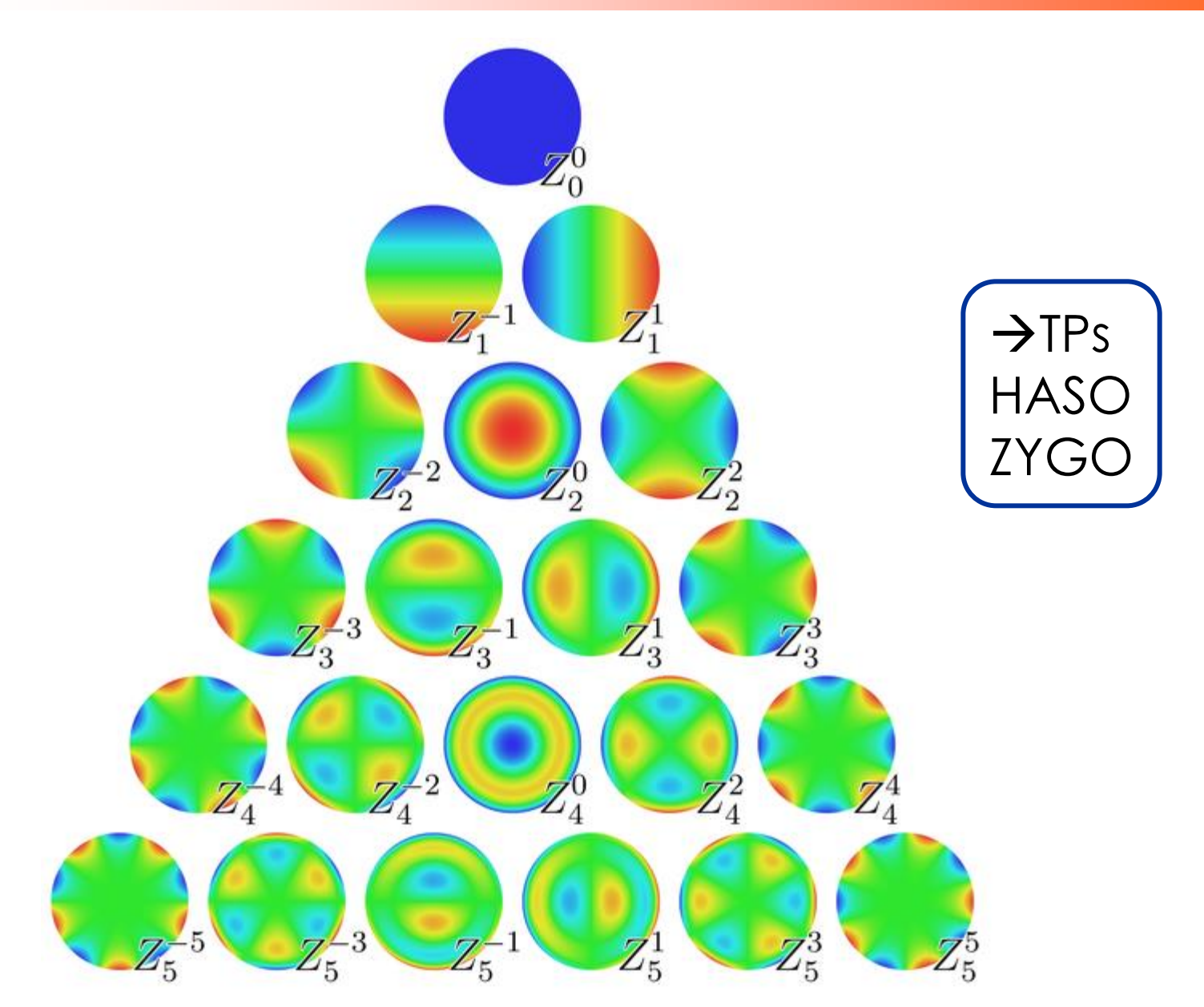
















- 1. Nom et ordre de l'aberration associée au polynôme de Zernike  $Z_7^3(u,\varphi)$  ?
- 2. Polynôme de Zernike associé au defocus
  - a. De quels monômes de Seidel  $\mathbb{Z}_2^0$  est-il combinaison linéaire ?
  - b. Calculez les coefficients de cette combinaison linéaire en utilisant les relations d'orthogonalité des polynômes de Zernike.
  - c. Retrouvez directement ces coefficients à partir de la définition des fonctions radiales  $R_n^m(u)$ .



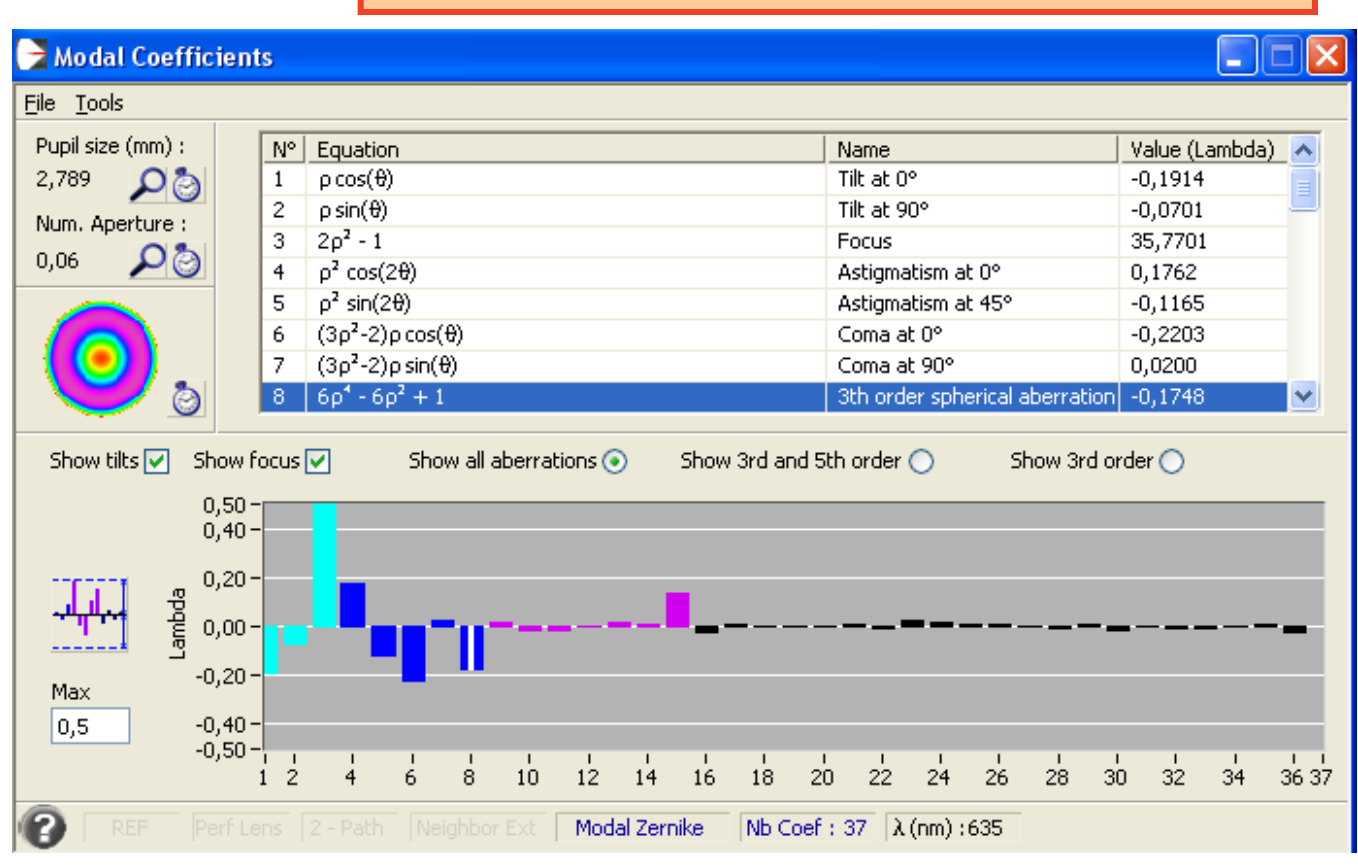
### Propriétés des polynômes de Zernike (3)

 Corollaire très important de la condition d'orthogonalité:

$$\sigma_{\Delta}^{2} = \overline{\Delta^{2}} - (\overline{\Delta})^{2} = \sum_{(n,m) \neq (0,0)} \sum_{(n,m) \neq (0,0)} c_{nm}^{2}$$







 Application : correction des défauts de front d'onde à l'aide d'un miroir déformable
 →TP Optique Adaptative



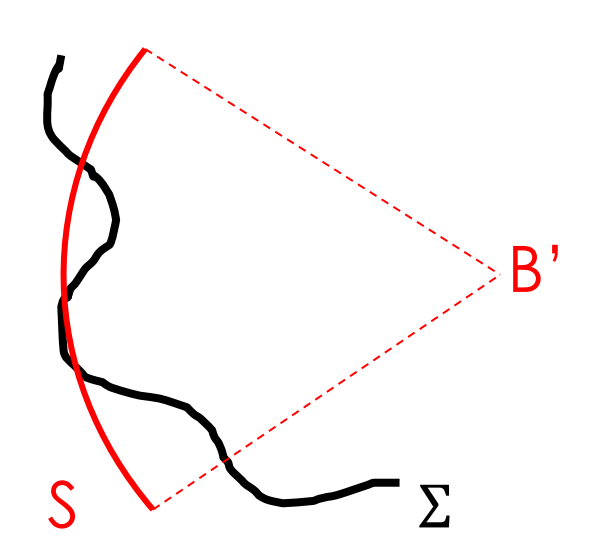
## Recherche du meilleur foyer

Δ calculé par rapport à la sphère S de centre B' quelconque

Rapport de Strehl: 
$$R_{S}(B') = \frac{I(B')}{I_{max,abs}} \approx \exp(-\frac{4\pi^{2}}{\lambda^{2}}\sigma_{\Delta}^{2}) = \exp(-\frac{4\pi^{2}}{\lambda^{2}}\sum_{(n,m)\neq(0,0)}\sum_{(0,0)}c_{nm}^{2})$$

 $\underline{\mathbf{Q}}$ : quels tilts et defocus faut-il appliquer à S pour minimiser  $\sigma_{\Lambda}^{2}$ ?

R:S  $\rightarrow$  S\*, B' $\rightarrow$ B'\*: meilleur foyer, tel que  $c_{11}=0$ ,  $c_{1-1}=0$ ,  $c_{20}=0$ 





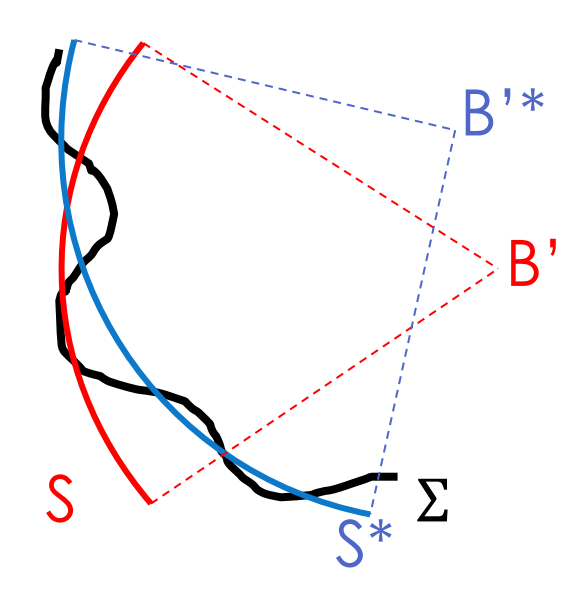
## Recherche du meilleur foyer

Δ calculé par rapport à la sphère S de centre B' quelconque

Rapport de Strehl: 
$$R_{S}(B') = \frac{I(B')}{I_{max,abs}} \approx exp(-\frac{4\pi^2}{\lambda^2}\sigma_{\Delta}^2) = exp(-\frac{4\pi^2}{\lambda^2}\sum_{(n,m)\neq(0,0)}\sum_{(0,0)}c_{nm}^2)$$

 $\underline{\mathbf{Q}}$ : quels tilts et defocus faut-il appliquer à S pour minimiser  $\sigma_{\Lambda}^{2}$ ?

R:S  $\rightarrow$  S\*, B' $\rightarrow$ B'\*: meilleur foyer, tel que  $c_{11}=0$ ,  $c_{1-1}=0$ ,  $c_{20}=0$ 





## Recherche du meilleur foyer

Δ calculé par rapport à la sphère S de centre B' quelconque

Rapport de Strehl: 
$$R_{S}(B') = \frac{I(B')}{I_{max,abs}} \approx exp(-\frac{4\pi^{2}}{\lambda^{2}}\sigma_{\Delta}^{2}) = exp(-\frac{4\pi^{2}}{\lambda^{2}}\sum_{(n,m)\neq(0,0)}c_{nm}^{2})$$

 $\underline{Q}$ : quels tilts et defocus faut-il appliquer à S pour minimiser  $\sigma_{\Lambda}^{2}$ ?

 $R: S \rightarrow S^*$ ,  $B' \rightarrow B'^*$ : meilleur foyer, tel que  $c_{11}=0$ ,  $c_{1-1}=0$ ,  $c_{20}=0$ 

 Δ calculé par rapport à la sphère S\* de centre B'\* qui approxime au mieux le front d'onde  $\Sigma$  au sens des moindres carrés  $\rightarrow \sigma_{\Lambda}^2$  minimal, éclairement maximal

$$R_S^* = R_S(B^{**}) \approx \exp(-\frac{4\pi^2}{\lambda^2} \times \sum_{(n,|m|) \notin ((0,0),(1,1),(2,0))} c_{nm}^2)$$





Résultats de l'analyse du front d'onde émergent d'une lentille déformable à la longueur d'onde  $\lambda=800$ nm. La spécification du fabricant pour la lentille est  $\sigma_{\Delta}<0.25\lambda$  pour une mise au point au meilleur foyer.



- 1. L'analyse a-t-elle été faite au meilleur foyer ?
- 2. Les résultats de l'analyse sont-ils compatibles avec la spécification du fabricant ?
- 3. Déduire de l'analyse l'amplitude de l'écart normal d'aberration sphérique du 3<sup>e</sup> ordre, en bord de pupille, pour une mise au point paraxiale.



### Tolérances sur l'écart normal d'aberration

Critère de Maréchal pour qu'un système soit « limité par la diffraction » :

$$R_s(B') \approx \exp(-4\pi^2 \left(\frac{\sigma_{\Delta}}{\lambda}\right)^2) \ge 80\% \quad \Leftrightarrow \quad \sigma_{\Delta} \le \frac{\lambda}{14}$$

Combien d'aberration peut-on tolérer?

Sphère S centrée en B'<sub>Paraxial</sub> Sphère S centrée au meilleur foyer B'\*

| aberration (3e ordre)       | Aberration classique   | $\Delta_{\sf max}$ | $\Delta_{\sf max}$ |
|-----------------------------|--|--------------------|--------------------|
| Aberration sphérique        | $ \Delta_{P}(h) = \Delta_{max} \left(\frac{h}{h_{m}}\right)^{4} $                        | 0.24 λ             | 0.95 λ             |
| Coma                        | $ \Delta_{P}(h, \varphi) = \Delta_{max} \left(\frac{h}{h_{m}}\right)^{3} \cos \varphi $  | 0.20 λ             | 0.60 λ             |
| Astigmatisme                | $ \Delta_{P}(h, \varphi) = \Delta_{max} \left(\frac{h}{h_{m}}\right)^{2} \cos 2\varphi $ | 0.17 λ             | 0.17 λ             |
| Courbure de champ (defocus) | $ \Delta_{P}(h) = \Delta_{max} \left(\frac{h}{h_{m}}\right)^{2} $                        | 0.25 λ             |                    |
| Distorsion (tilt)           | $\Delta_{P}(h, \varphi) = \Delta_{max}\left(\frac{h}{h_{m}}\right) \cos \varphi$         | 0.14 λ             |                    |

Note: «y» est fixé



#### Ce qu'il faut retenir ...

- Ecart normal associé à un « defocus » :  $\Delta = -\frac{1}{2}\varepsilon\alpha'^2$
- Lois d'échelle (variation avec  $h, \varphi, y$ ) des aberrations de Seidel d'ordre  $\leq 5$  (cf. transparent 9) et des aberrations classiques (transparent 19)
- Forme de la déformation du front d'onde pour les aberrations classiques d'ordre ≤ 3
- Propriété d'orthonormalité des polynômes de Zernike sur une pupille disque circulaire
- Expression de  $\sigma_{\Delta}^2$  en fonction des coefficients de la décomposition sur la base de Zernike :
  - au centre de la sphère de référence
  - au meilleur foyer
- Lien entre  $\sigma_{\Lambda}^2$  et le rapport de Strehl
- Critère de Maréchal



### **Chapitre 2**

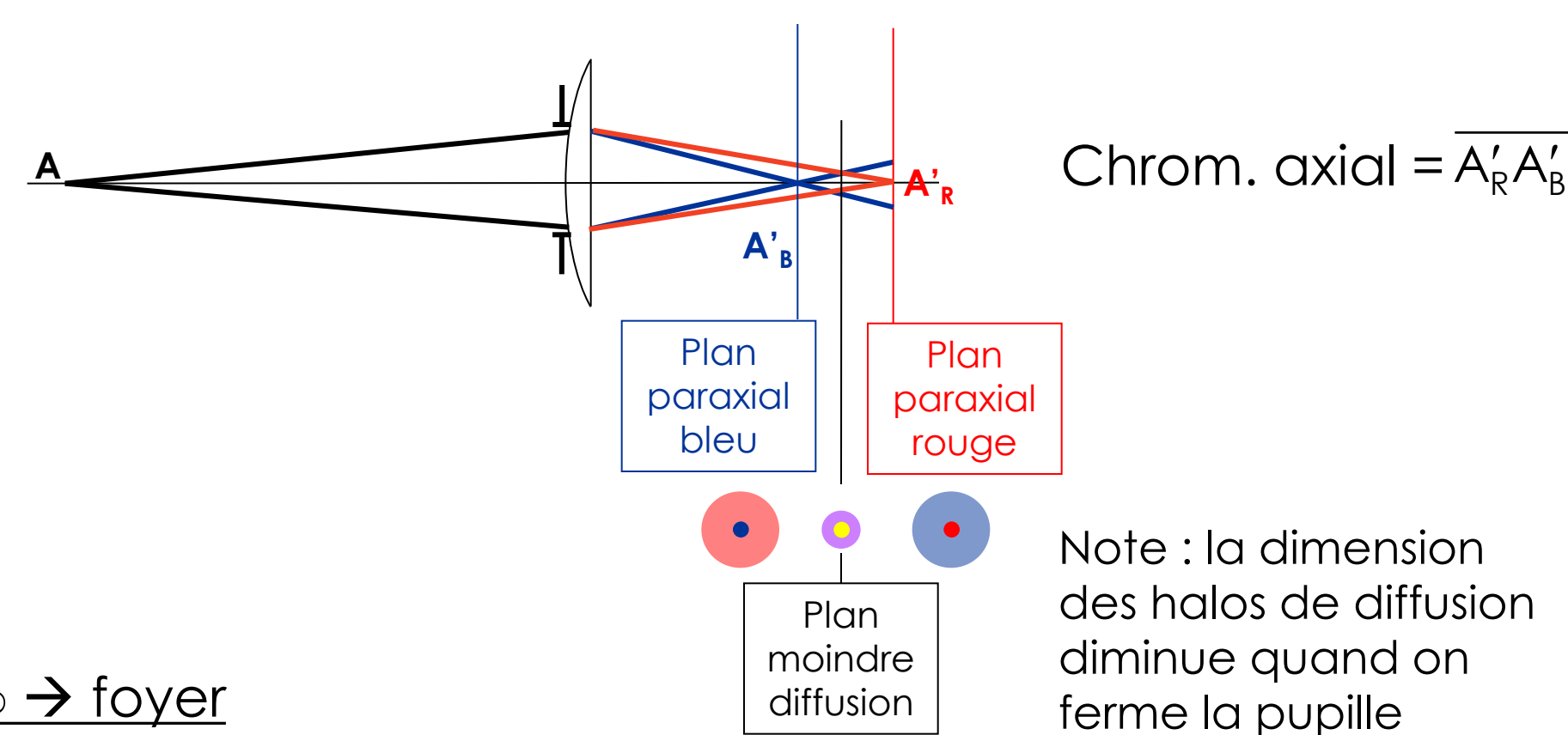
# Les aberrations chromatiques paraxiales

- Chromatisme axial
- Chromatisme latéral



### Chromatisme axial (ou longitudinal)

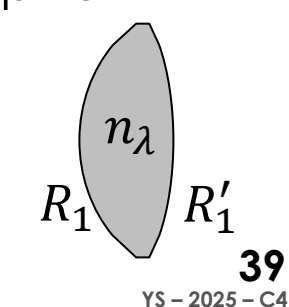
La position de l'image paraxiale <u>le long de l'axe</u> dépend de λ.



 $Cas \infty \rightarrow foyer$ 

Convergence  $C_{\lambda} = \frac{1}{f_{\lambda}'} = (n_{\lambda} - 1)(\frac{1}{R_1} - \frac{1}{R_1'})$  (lentille mince)

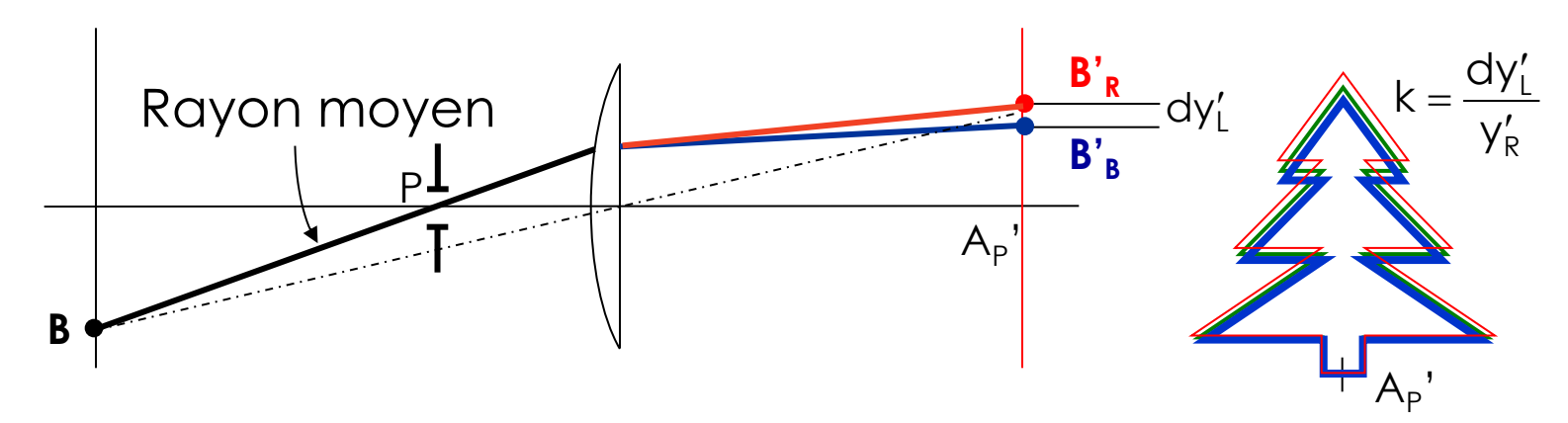
Chromatisme axial =  $F'_RF'_B$ 





### Chromatisme latéral (grandeur apparente)

L'image paraxiale a <u>une grandeur apparente</u> qui dépend de λ, dans le plan image de référence.



Le chromatisme latéral traduit la déviation du **rayon moyen**, différente selon  $\lambda$ .

S'il existe, le chromatisme latéral subsiste même lorsqu'on ferme le diaphragme d'ouverture.

Le chromatisme latéral peut exister indépendamment du chromatisme axial.



### Chromatisme primaire, secondaire ...

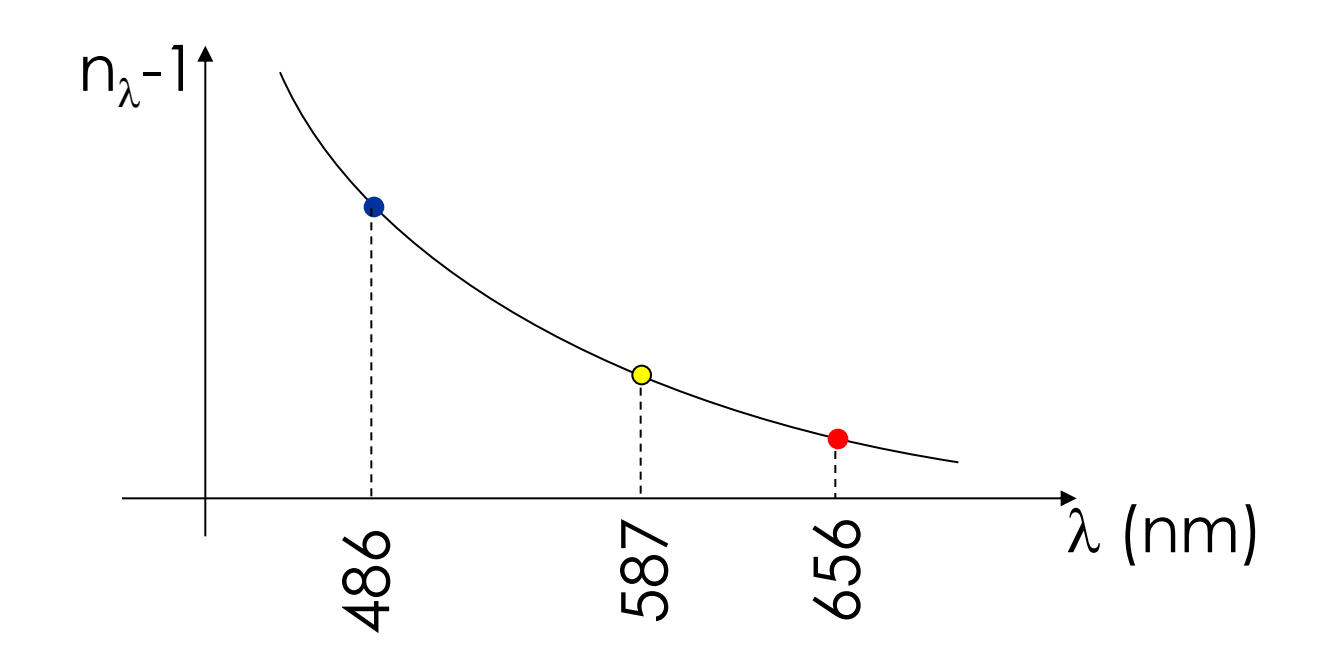
#### **Chromatisme primaire** (PAC, PLC)

on suppose que  $n_{\lambda}$  varie de manière linéaire avec  $\lambda$ 

1 seul paramètre caractéristique : 
$$v = \frac{n_J - 1}{n_B - n_R} = \frac{\overline{n} - 1}{\Delta(n-1)}$$
 (constringence)

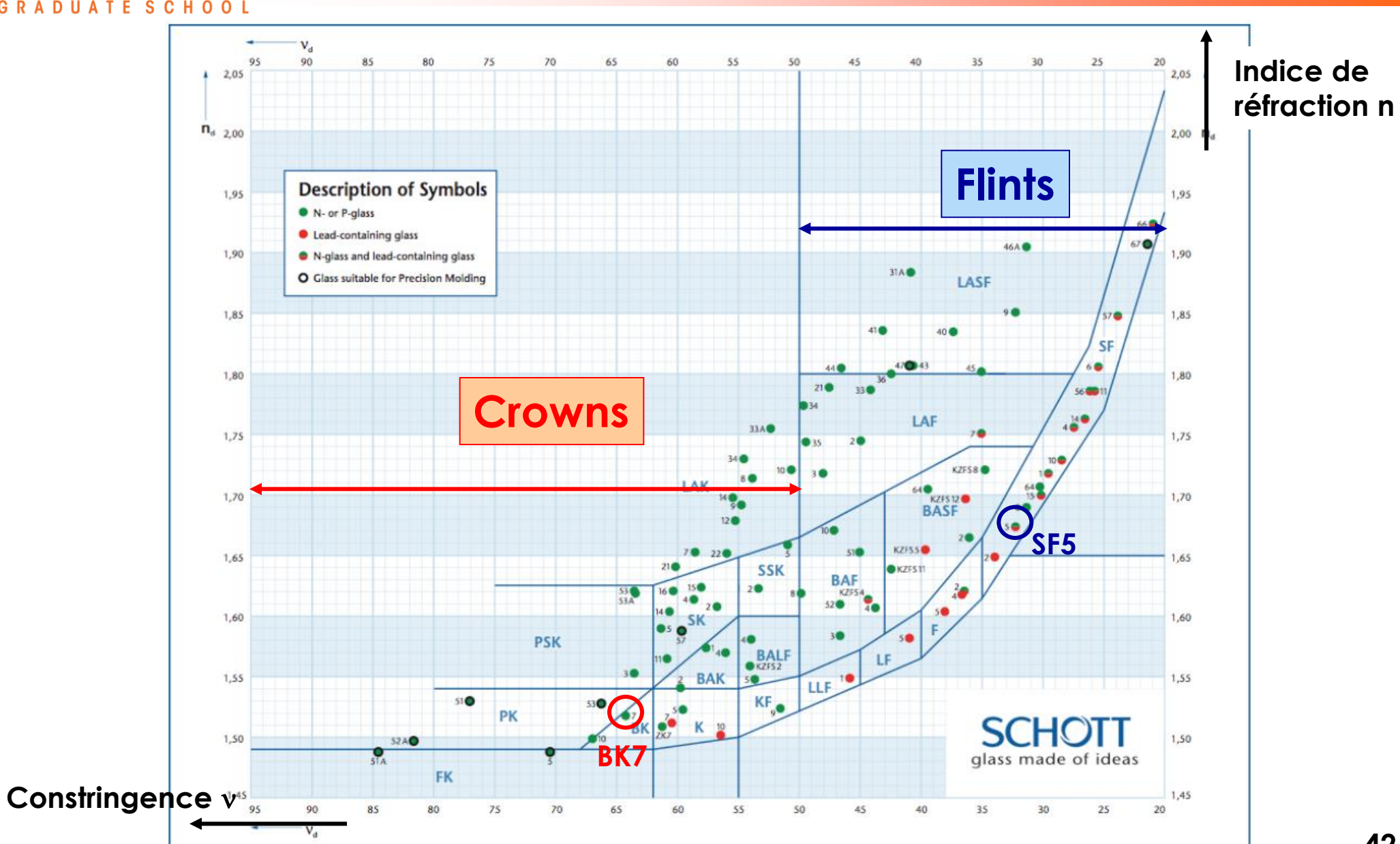
#### Chromatisme secondaire (SAC, SLC)

lié à la variation quadratique de  $n_{\lambda}$  avec  $\lambda$ 





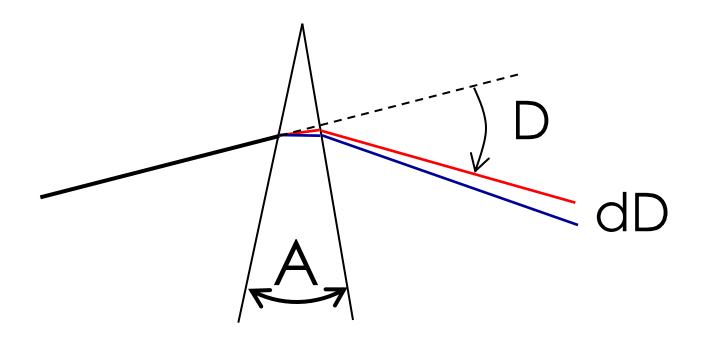
#### **Verres Schott**





### Déviation chromatique

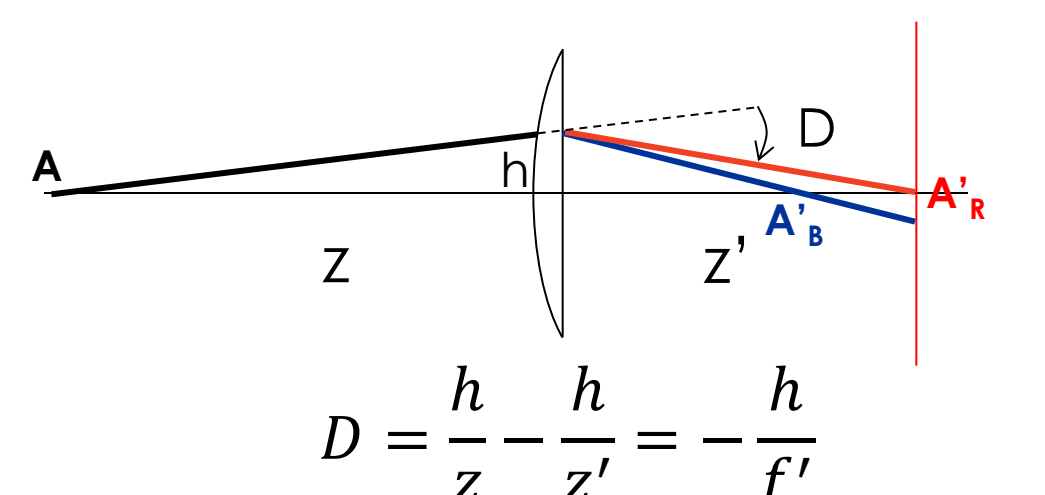
#### Déviation angulaire induite par un prisme de petit angle A



$$D = (n - 1)A$$

$$\frac{dD}{D} = \frac{1}{v}$$

#### Pour une lentille mince de convergence C = 1/f'



$$D = -hC$$

indépendant de z, z'

$$dC = \frac{C}{v} \qquad df' = -\frac{f'}{v}$$



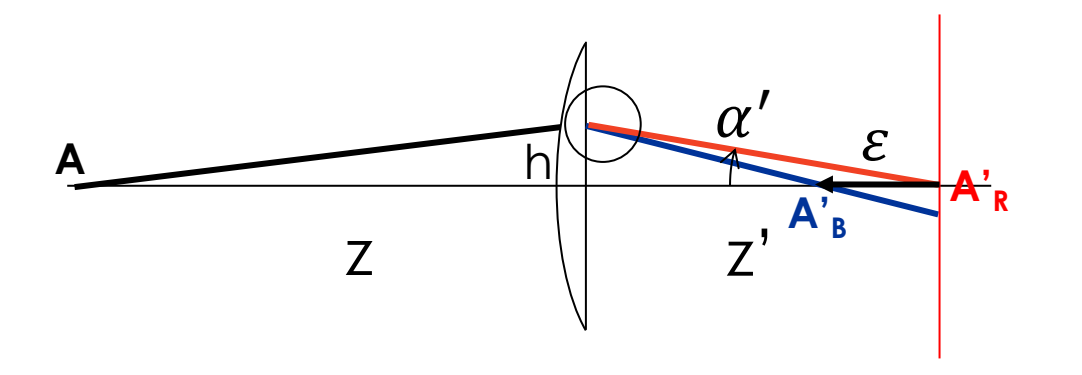
#### Ecart normal de PAC

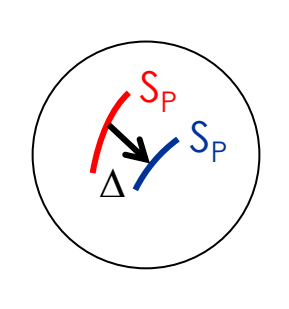
#### PAC: Chromatisme Axial Primaire

Pour une lentille mince (focale f', verre (n, v)), l'écart normal du front d'onde bleu par rapport au front d'onde rouge s'écrit :

$$\Delta = \frac{h^2}{2f'\nu}$$

indépendant de z, z'





$$\frac{1}{z'} - \frac{1}{z} = \frac{1}{f'}$$

$$\varepsilon = dz' = \frac{z'^2}{f'^2} df'$$

$$\alpha' = -h/z'$$

Preuve : 
$$\Delta = -\frac{1}{2}\varepsilon\alpha'^2 = -\frac{1}{2}\frac{z'^2}{f'^2}\left(-\frac{f'}{\nu}\right)\left(-\frac{h}{z'}\right)^2$$



### Ce qu'il faut retenir ...

- Notions de chromatisme axial & chromatisme latéral
- Notions de chromatisme primaire & chromatisme secondaire
- Définition de la constringence  $\nu$  d'un verre sur un intervalle spectral
- Pour une lentille mince,  $df' = -\frac{f'}{\nu}$  et  $\Delta = \frac{h^2}{2f'\nu}$  (indépendant de z, z')



### Exercice 1 (chromatisme axial)

Chromatisme axial d'une lentille mince en BK7 (v=64), f' = 150mm, éclairée par un faisceau collimaté de lumière blanche de diamètre 6mm

- 1. Chromatisme axial  $\varepsilon = \overline{A'_R A'_B}$  ?
- Rayon de la tache de diffusion dans le plan de l'image paraxiale rouge ?
   Comparer à la limite de diffraction.
- 3. Ecart normal (en unités de  $\lambda$  = 656nm) associé au chromatisme axial, en bord de pupille et pour une mise au point sur l'image paraxiale rouge ?
- 4. Comment vos réponses sont-elles modifiées si la lentille est maintenant en SF5 (v=32) ?



### Exercice 2 (chromatisme latéral)

Chromatisme latéral d'une lentille mince en BK7 (v=64), f' = 150mm, éclairée sous un angle de 1° par un faisceau collimaté de lumière blanche de diamètre 6mm (diamètre de la pupille)

- 1. Où placer la pupille d'entrée pour annuler le chromatisme latéral?
- 2. Dans la suite on place la pupille au foyer objet de la lentille. Evaluez :
  - a. La hauteur d'impact  $h_0$ , sur la lentille, du rayon moyen.
  - b. Le chromatisme latéral primaire.
  - c. Le rapport entre les grandeurs apparentes des deux images bleue et rouge. Laquelle des deux images est la plus petite ?
  - d. L'écart normal (en unités de  $\lambda$  = 656nm) associé au chromatisme latéral, en bord de pupille et pour une mise au point sur l'image rouge.
  - e. L'écart normal total de chromatisme (axial + latéral), toujours pour la mise au point sur l'image rouge.
- 3. Que deviennent les quantités précédentes si la lentille est maintenant en SF5 (v=32)?